

portanto, pelo teorema de Cayley-Hamilton,

$$V_0 = \begin{bmatrix} C \\ CA \\ CA^2 \\ \vdots \\ CA^{n-1} \end{bmatrix} \rightarrow \text{rank}(V_0) = \text{rank}(V_{0(0)})$$

se $\text{rank}(V_0) = n$, então existem n linhas LI. sm (3)
é possível determinar solução única para x_0
(sistema observável)

exemplo 1: $\dot{x} = Ax, x(0) = x_0$

$$y = Cx$$

$$A = \begin{bmatrix} 1 & 1 \\ 0 & -1 \end{bmatrix}; C = \begin{bmatrix} 0 & 1 \end{bmatrix}$$

$$V_0 = \begin{bmatrix} 0 & 1 \\ 0 & -1 \end{bmatrix}; \text{rank}(V_0) = 1$$

sistema não observável.

exemplo 2:

$$A = \begin{bmatrix} 1 & 1 \\ 0 & -1 \end{bmatrix}; C = \begin{bmatrix} 1, 0 \end{bmatrix}$$

$$V_0 = \begin{bmatrix} 1 & 0 \\ 1 & 1 \end{bmatrix}; \text{rank}(V_0) = 2$$

sistema observável

→ controlabilidade

definição: o sistema $\dot{x} = Ax + Bu, x(0) = x_0$ é controlável se existe uma entrada $u(t)$ em um intervalo $[0, t_f]$ que leva a qualquer $x(t_f)$ desejado no espaço de estados

→ teste de observabilidade

• observável ($Cx = 0$)

→ teste de controlabilidade

o sistema $\dot{x} = Ax + Bu$, $x(0) = x_0$, $A \in \mathbb{R}^{n \times n}$ é controlável se e só se $\text{rank}(B) = n$

($(CAB)^T (AB) = (A^T) A B^T = B^T$)

$B^T = 0$

$A^T = 0$

$B^T = 0$

aula 12 → controle por realimentação de saída

(dimensão sombra)

→ estimadores de estado

a) estimador em malha aberta

considere o sistema:

$$\dot{x} = Ax + Bu, \quad x(0) = x_0 \quad (1)$$

$$y = Cx \quad (2)$$

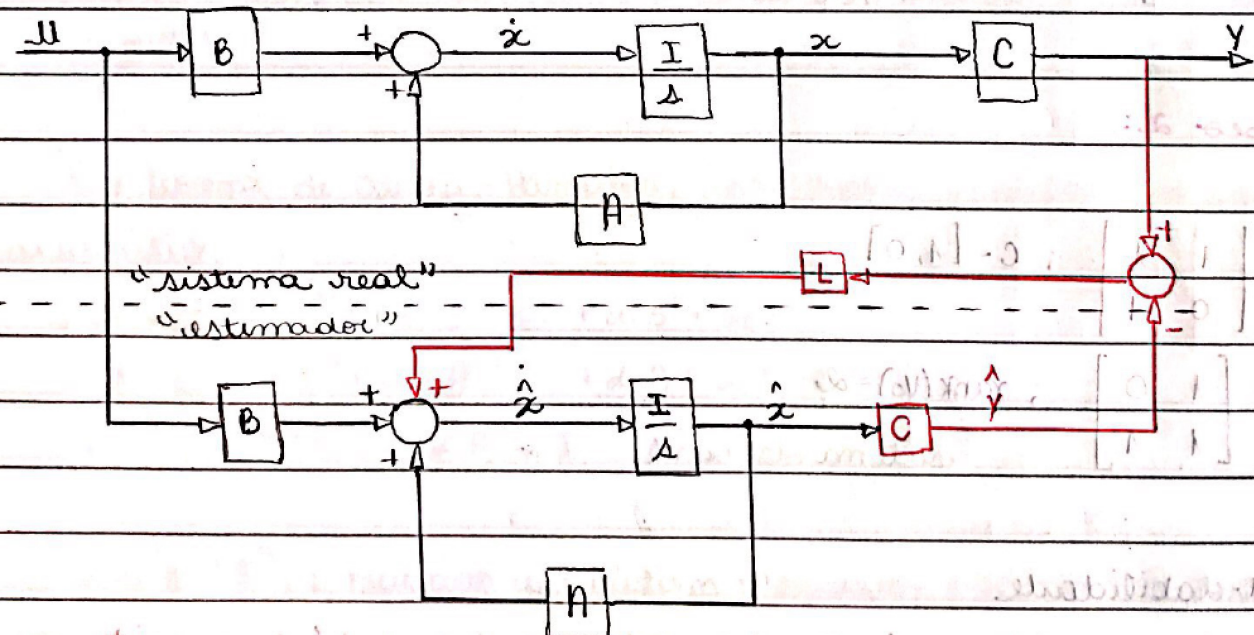
conhecendo A e B pode-se estimar o estado \hat{x} por:

$$\dot{\hat{x}} = A\hat{x} + Bu \quad (3)$$

sendo \hat{x} o estado estimado.

"sistema real"

"estimador"



(*) desvantagens:

→ é necessário conhecer x_0 ;

→ erro $\tilde{x} = \hat{x} - x$ é cumulativo.

b) observador com realimentações de saída

$$\dot{\hat{x}} = A\hat{x} + Bu + L(y - C\hat{x})$$

radicar em vermelho as desenhos

$$\dot{\hat{x}} = (A - LC)\hat{x} + Ly + Bu$$

varacionando a dinâmica do verso $\ddot{x} = \dot{x} - x$

$$\dot{\hat{x}} = \hat{x} - x = (A - LC)\hat{x} + (u_y + Bu_x - Ax - Bu)$$

$$= (A - LC) \hat{x} - (A - LC)x = (A - LC) \tilde{x}$$

relationships on stage.

~~7-26-00~~ 7-26-00

(89°, 79°, 79°) = 33014 ft

10. *How can we make our world better?*

portanto $\hat{x} = (A - LC)\hat{x}$. com isso, temos que a matriz $(A - LC)$ controla a taxa de decréscimo do erro entre o estado estimado e o estado real.

L → matriz de apoio de visualizações de usada (variável de projeto)

- projeto de observador: segue meu algoritmo com as 100 diretrizes envol.

1. suchen $\lambda_1^*, \lambda_2^*, \dots, \lambda_n^*$ so dass $(\lambda_1 x_1 + \lambda_2 x_2 + \dots + \lambda_n x_n) R = 0$

11. encontrar L , tal que $\lambda_i \{A - LC\} = \lambda_i^*$. $\lambda = \sigma + j\omega$ (A) \Rightarrow $\lambda_i = \lambda_i^*$

$i=1,2,\dots,n$ meren füg, ab eingeschränkt wenn $\xi = -\sigma / \sqrt{\sigma^2 + w^2}$ ultimativ ist.

	ΔIm
X	$\rightarrow \text{Real} \rightarrow Re(y, x) - (1-x)\mu m = (x)\mu$
X	$(1-x)\mu = (x)\mu$

$$(1-N)_{\text{exp}} = (1+N)_{\text{true}} = (1+2N)_{\text{true}} = (1+N)_{\text{exp}}$$

no matlab: $(N) u_{00} + ((S - \lambda)p) u_0 - ((1 - \lambda)p) u_1 = (N) p + ((1 - \lambda)p - (1 + \lambda)) u_0$

- A. controle por visualizações de estados: (N) 55.80 - (N) 12.10

$$P_i = [\lambda_1^* \quad \lambda_2^* \dots \quad \lambda_n^*]^T$$

$\mathbf{X} = \text{PLACE}(\mathbf{A}, \mathbf{B}, \mathbf{P})$;

(x,y)	\rightarrow	t	\in	$\text{第}n\text{区}$	\Rightarrow	$x^2 + y^2 = \text{圆心}^2$	\Rightarrow	(x,y) 满足
$=$	0	\in	$(\text{第}n\text{区})$	\Rightarrow	0	$=$	1	$(\text{第}n\text{区})$ 满足

2. projeto do observador.

$$p_2 = \lambda_1^* \quad \lambda_2^* \rightarrow \lambda^* \mathbb{I}^+$$

PLACE (A^T, C^T, p_2) ;

$$k_B^1 = L$$

$$\text{se } \dot{x} = A^T z + C^T u \quad \dot{x} = A^T z + C^T k$$

$$\bar{g} = B^T z$$

é contraditório. Portanto, pode-se projetar \bar{k} tal que $\lambda_i^* (A^T + C^T \bar{k}) = \lambda_i^*$,

$$i = 1, 2, \dots, n$$

$$\text{Jogando } L = -\bar{k}^T \rightarrow \bar{k} = -L^T$$

$$\lambda^* (A^T + C^T \bar{k}) = \lambda^* (A^T - C^T L^T) = \lambda^* (A - LC)$$

Aula 13: modelagem e análise de sistemas discretos

(Continuação) obtendo o seguinte resultado:

→ modelagem de sistemas discretos

- forma padrão de um modelo no espaço de estados

$$x(k+1) = Ax(k) + Bu(k), \quad x(0) = x_0$$

$$y(k) = Cx(k)$$

- este modelo corresponde a uma equação de diferenças (análoga discreta de uma equação de diferenças diferenciais)

exemplo:

$$y(k) = -\alpha_1 y(k-1) - \alpha_2 y(k-2) + b_0 u(k)$$

$$\left\{ \begin{array}{l} x_1(k) = y(k-1) \\ x_2(k) = y(k-2) \end{array} \right.$$

$$x_2(k+1) = y(k-2+1) = y(k-1) = x_1(k)$$

$$x_1(k+1) = y(k-1+1) = y(k) = -\alpha_1 y(k-1) - \alpha_2 y(k-2) + b_0 u(k)$$

$$= -\alpha_1 x_1(k) - \alpha_2 x_2(k) + b_0 u(k)$$

∴

$$\begin{bmatrix} x_1(k+1) \\ x_2(k+1) \end{bmatrix} = \begin{bmatrix} -\alpha_1 & -\alpha_2 \\ 1 & 0 \end{bmatrix} \begin{bmatrix} x_1(k) \\ x_2(k) \end{bmatrix} + \begin{bmatrix} b_0 \\ 0 \end{bmatrix} u(k)$$

$$\bar{y}(k) = \begin{bmatrix} -\alpha_1 & -\alpha_2 \end{bmatrix} \begin{bmatrix} x_1(k) \\ x_2(k) \end{bmatrix} + b_0 u(k)$$

transformada de Laplace é aplicável a sistemas contínuos

análogo discreto é a transformada Z

$$z\{f(k)\} = F(z) = \sum_{k=0}^{\infty} f(k) z^{-k}$$

z^{-1} representa um atraso unitário de tempo

exemplo:

$$y(k) = -\alpha_1 y(k-1) - \alpha_2 y(k-2) + b_0 u(k)$$

$$z\{y(k)\} = z\{a_1 y(k-1) + a_2 y(k-2) + b_0 u(k)\}$$

$$z\{y(k)\} = -\alpha_1 z\{y(k-1)\} - \alpha_2 z\{y(k-2)\} + b_0 z\{u(k)\}$$

$$y(z) = -\alpha_1 z^{-1} y(z) - \alpha_2 z^{-2} y(z) + b_0 U(z)$$

$$y(z) [1 + \alpha_1 z^{-1} + \alpha_2 z^{-2}] = b_0 U(z)$$

$$y(z) = \frac{b_0}{1 + \alpha_1 z^{-1} + \alpha_2 z^{-2}}$$

→ análise de sistemas discretos

• relação entre as transformadas de Laplace e Z

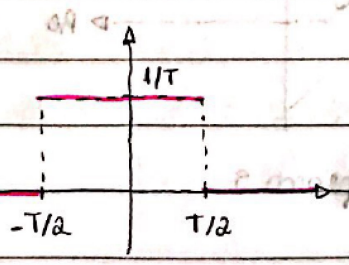
→ séries e transformadas de Fourier: sinais periódicos

→ transformada de Laplace: sinais aperiódicos contínuos

→ como modelar sinais discretos (ampliadores) para aplicação da transformada de Laplace?

• função pulso:

$$f_p(t) = \begin{cases} \frac{1}{T}, & -\frac{T}{2} \leq t \leq \frac{T}{2} \\ 0, & t < -\frac{T}{2} \text{ ou } t > \frac{T}{2} \end{cases}$$



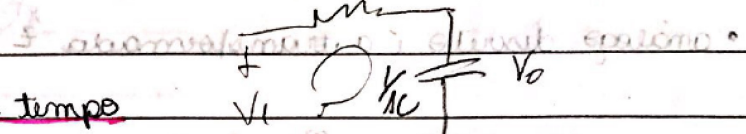
• Junção impulso

$$\delta(t) = \lim_{T \rightarrow 0} J_p(t)$$

visando obter a junção de impulsos no sistema

$\delta(t) = \frac{1}{T} \delta(t)$

R



• Junção impulso com atraso de tempo

$$\delta(t-1) = \lim_{T \rightarrow 0} J_p(t-1)$$

$$y^*(t) = \int_0^t g(\tau) \delta(\tau-1) d\tau$$

$$V_0 = \frac{1}{R+C} i$$

$$V_0 = (R + 1/C) i$$

$$V_0 = (R + 1/C) \frac{1}{R + 1/C + s} i$$

• Junção impulso pode ser usada para amostragem de uma junção contínua.

$$f(x) \delta(x) + f(x-1) \delta(x-1) + f(x-2) \delta(x-2) + \dots = f(x) \delta(x)$$

→ transformada de Laplace da junção impulso com atraso

$$\mathcal{L}\{\delta(t-1)\} = e^{-s}$$

→ problema: termos exponenciais introduzem não-linearidades no domínio s

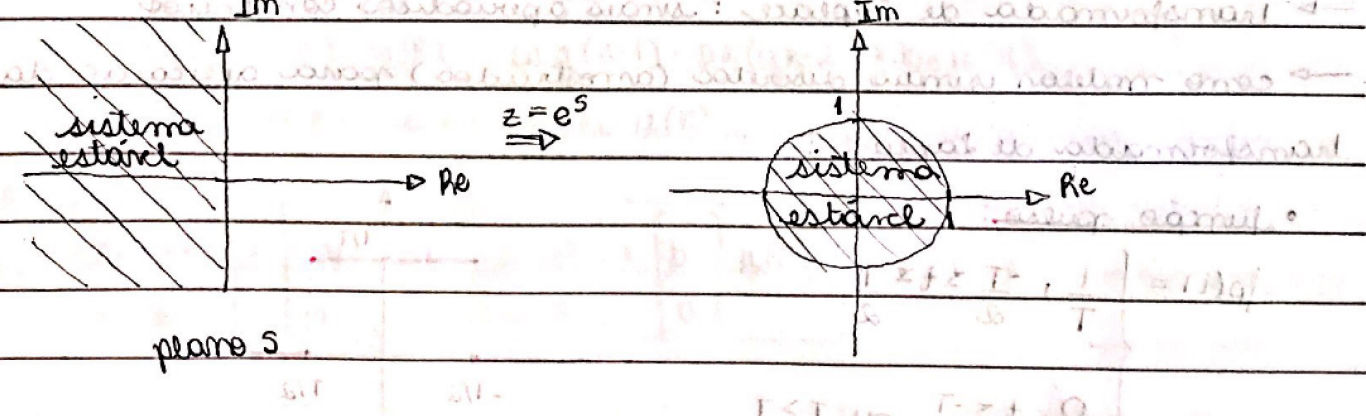
→ solução: usar uma mudança de variáveis

$$z = e^s$$

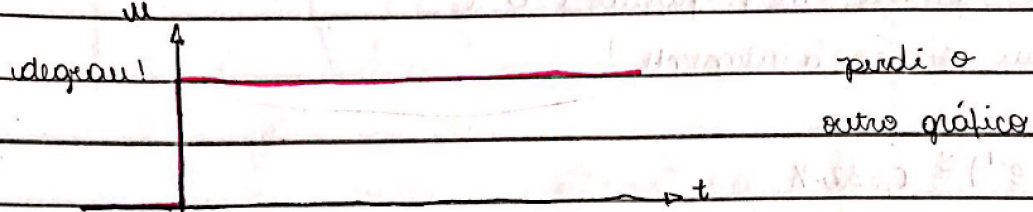
com isso:

$$\mathcal{L}\{\delta(t-1)\} = e^{-s} = z^{-1} = z \mathcal{L}\{\delta(t)\}$$

→ implicação para a estabilidade de um modelo de sistema

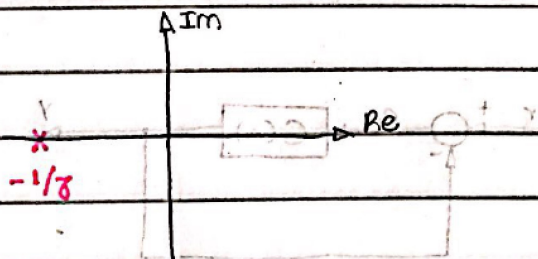


Aula 15: Resposta no tempo de sistemas lineares



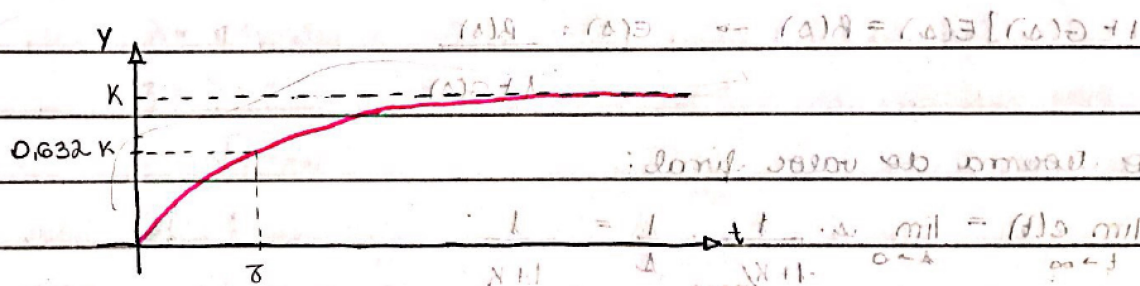
→ sistema de 1^a ordem

$$G(s) = \frac{K}{\tau s + 1}$$



K → ganho em regime permanente

T → constante de tempo



$$Y(s) = G(s)U(s)$$

teorema do valor final

quando o tempo $\rightarrow \infty$, o sistema

$$\lim_{t \rightarrow \infty} y(t) = \lim_{s \rightarrow 0} sY(s)$$

tende a K, seu ganho em regime permanente.

Ex: o sistema de 1^a ordem c/ aplicação de um degrau unitário:

$$\lim_{t \rightarrow \infty} y(t) = \lim_{s \rightarrow 0} s \cdot \frac{K}{\tau s + 1} = K = 0,12$$

CONSTANTE DE TEMPO

$$y(t) = \mathcal{L}^{-1} \left\{ \frac{K}{\tau s + 1} \right\} = K \cdot (1 - e^{-\frac{1}{\tau} \cdot t})$$

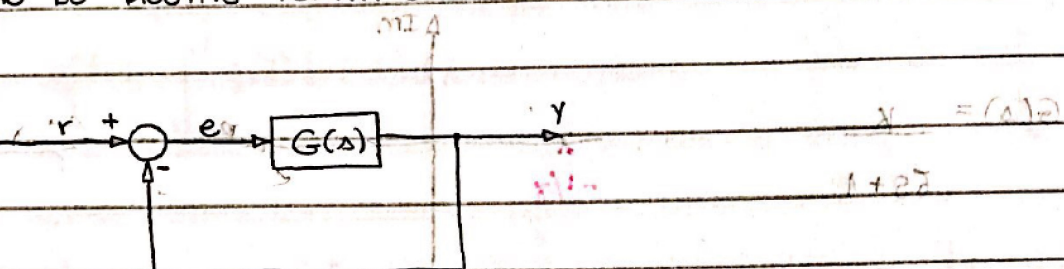
O que significa a constante de tempo?

$e^{-\frac{t}{T}}$ começa em 1 quando $t=0$ e diminui exponencialmente!

um $t = T$:

$$y(t) = K(1 - e^{-1}) \approx 0,632 \cdot K$$

• ERRO DE REGIME PERMANENTE



$$E(s) = R(s) - Y(s) \rightarrow E(s) = R(s) - G(s)E(s)$$

$$\rightarrow [1 + G(s)]E(s) = R(s) \rightarrow E(s) = \frac{R(s)}{1 + G(s)}$$

pelo teorema do valor final:

$$\lim_{t \rightarrow \infty} e(t) = \lim_{s \rightarrow 0} s \cdot \frac{1}{1 + G(s)} = \frac{1}{1 + K}$$

quanto maior o K menor o erro!

→ sistema de 2º ordem

$$w_n = \sqrt{\frac{1}{K}} = \frac{1}{\sqrt{K}}$$

$$G(s) = K \cdot w_n^2$$

$$s^2 + 2\zeta w_n s + w_n^2$$

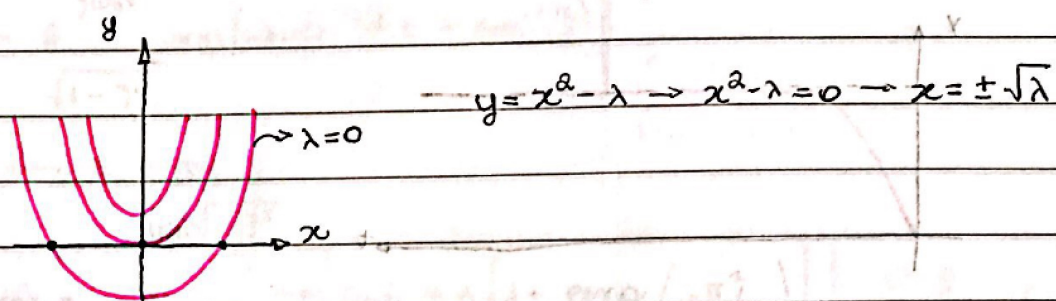
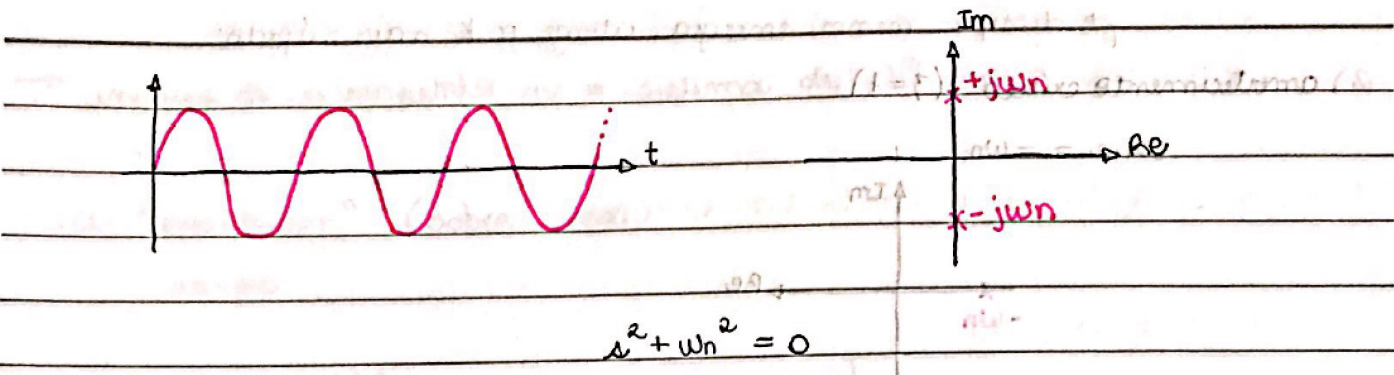
$$\lambda_{1,2} = -\zeta w_n \pm j w_n \sqrt{1 - \zeta^2}$$

K → ganho em regime permanente

w_n → frequência natural de oscilação não amortecida

ζ → fator de amortecimento

$$(s^2 + 2\zeta s + 1) X = \left\{ 1 - \frac{s}{s + jw_n} \right\} \left\{ 1 - \frac{s}{s - jw_n} \right\} X$$

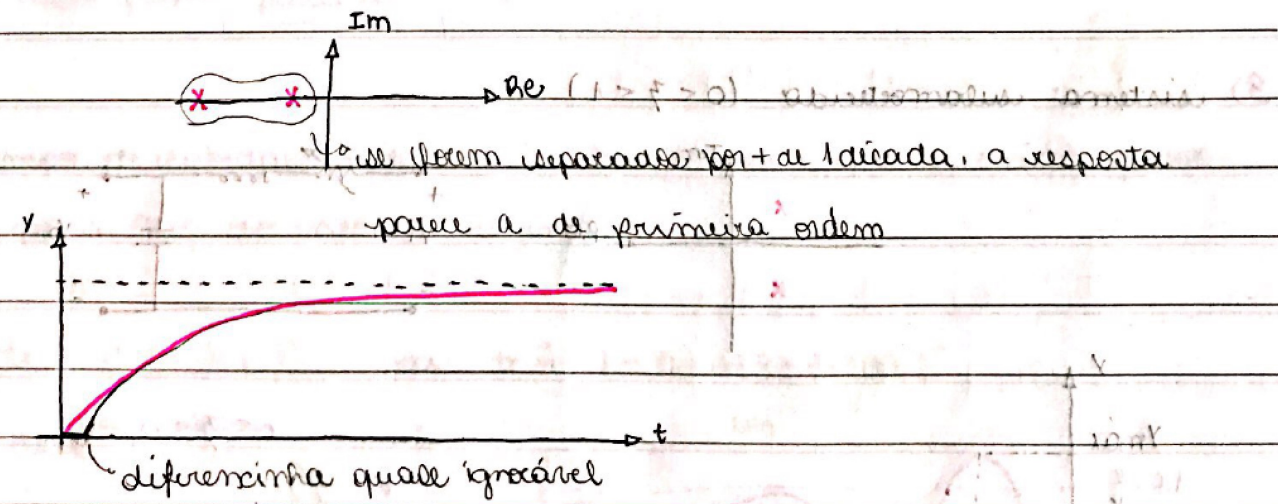


1) sistema sobreacertado ($\zeta > 1$)

$$\lambda = \sigma + j\omega \quad \text{essa expressão não funciona nesse caso pois } \zeta > 1$$

$$\omega_{1,2} = -\zeta \omega_n \pm j\omega_n \sqrt{1-\zeta^2}$$

$$\omega_{1,2} = -\zeta \omega_n \pm \omega_n \sqrt{\zeta^2 - 1}$$

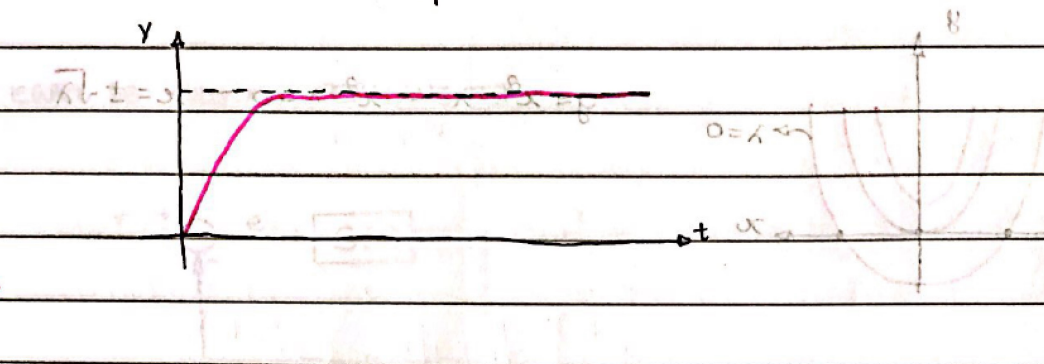


→ dissipá menor energia, atinge o K mais rápido

2) amortecimento crítico ($\zeta = 1$)

$$\omega_{n,c} = -\omega_n$$

$$\begin{array}{c} \text{Im} \\ \times \\ -\omega_n \\ \theta = \omega_n t + \frac{\pi}{2} \end{array}$$



Aula 16: índices de desempenho p/ sistema de unha ordem

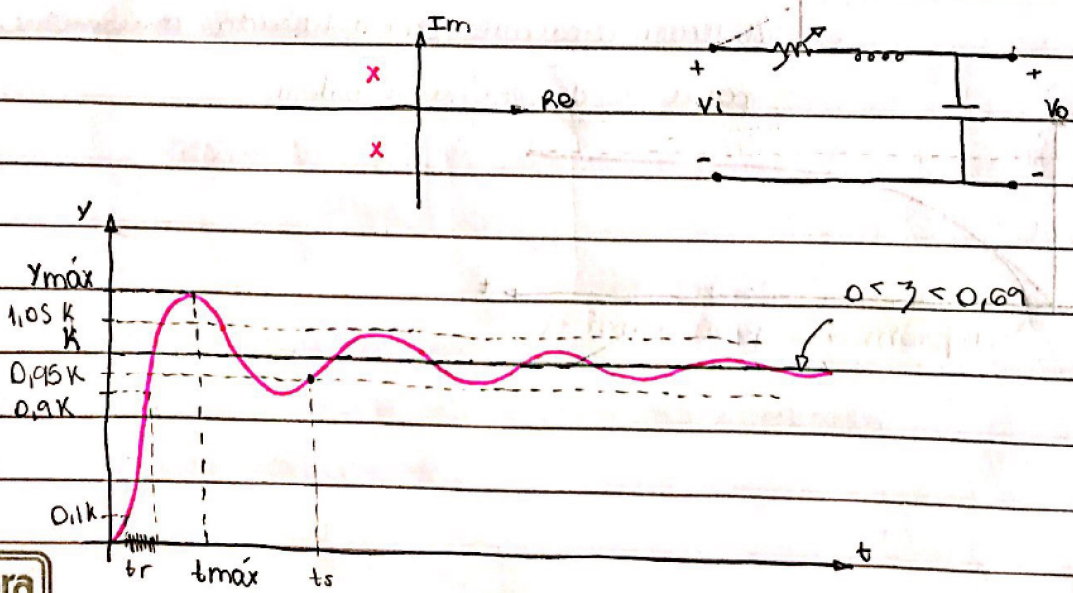
→ forma padrão do sistema de segunda ordem $+D = K$

$$G(s) = K \cdot \frac{\omega_n^2}{s^2 + 2\zeta\omega_n s + \omega_n^2}$$

$$\omega_n^2 + 2\zeta\omega_n s + \omega_n^2$$

$$\omega_{n,c} = -\zeta\omega_n \pm j\omega_n\sqrt{1-\zeta^2}$$

3) sistema subamortecido ($0 < \zeta < 1$)



tilibra